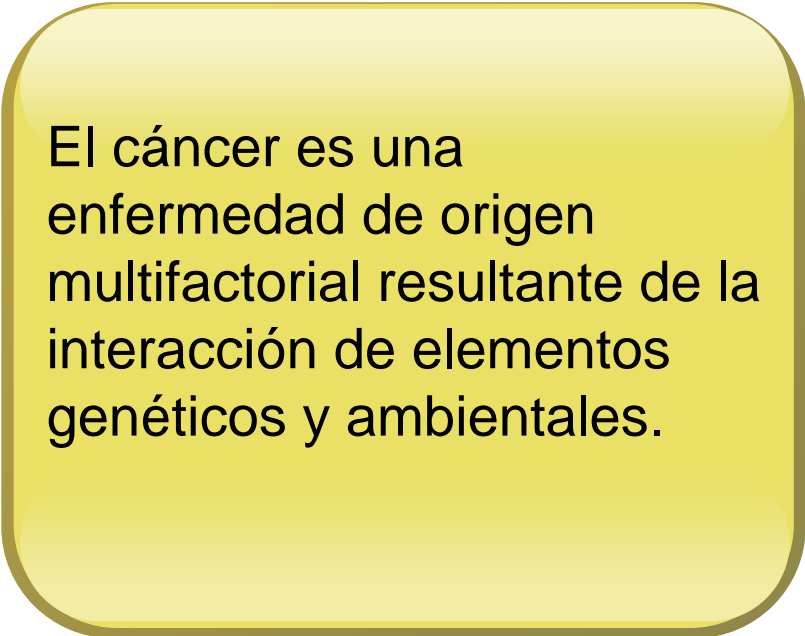


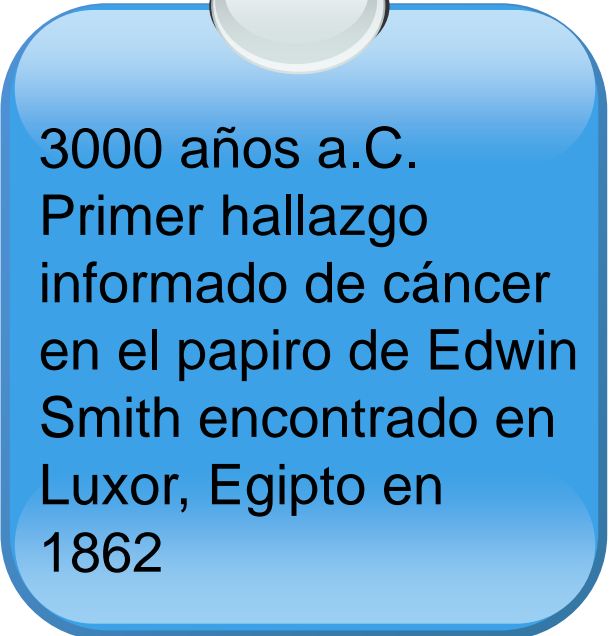
Caracterización clínico e imagenológica de los pacientes con tumor renal maligno.

Autoras: Dra. Vivian Dosouto Infante
Dra. Yaima Lemus Dosouto

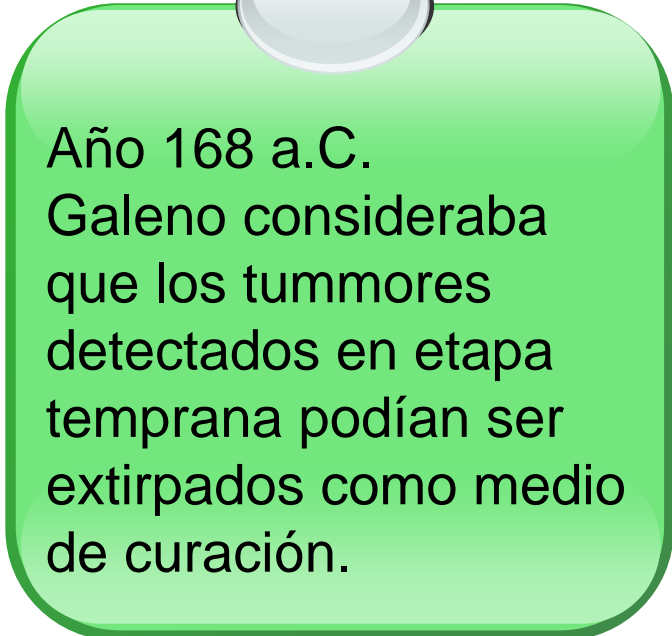


A yellow rectangular sticky note with rounded corners and a silver pushpin at the top center.

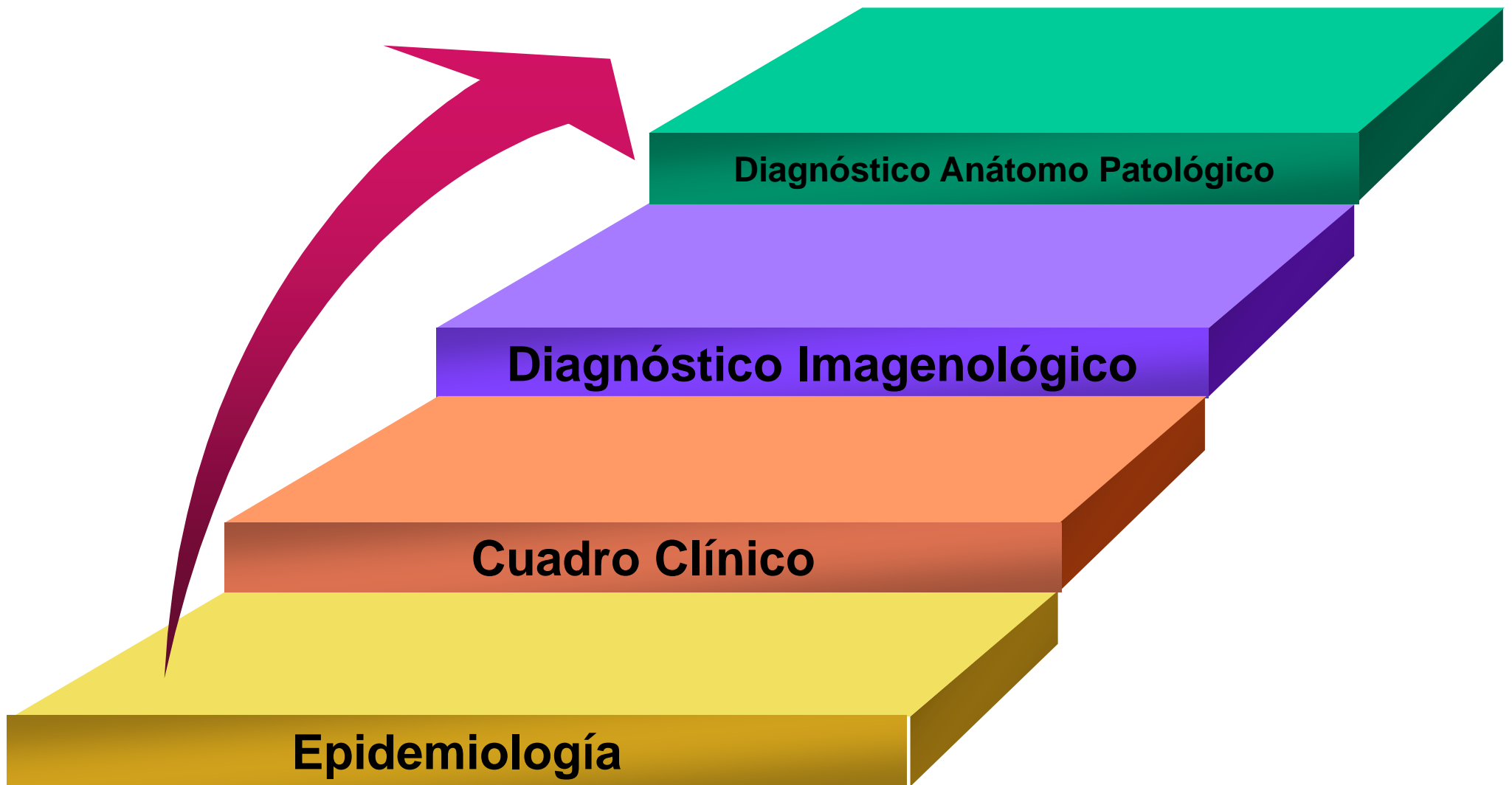
El cáncer es una enfermedad de origen multifactorial resultante de la interacción de elementos genéticos y ambientales.

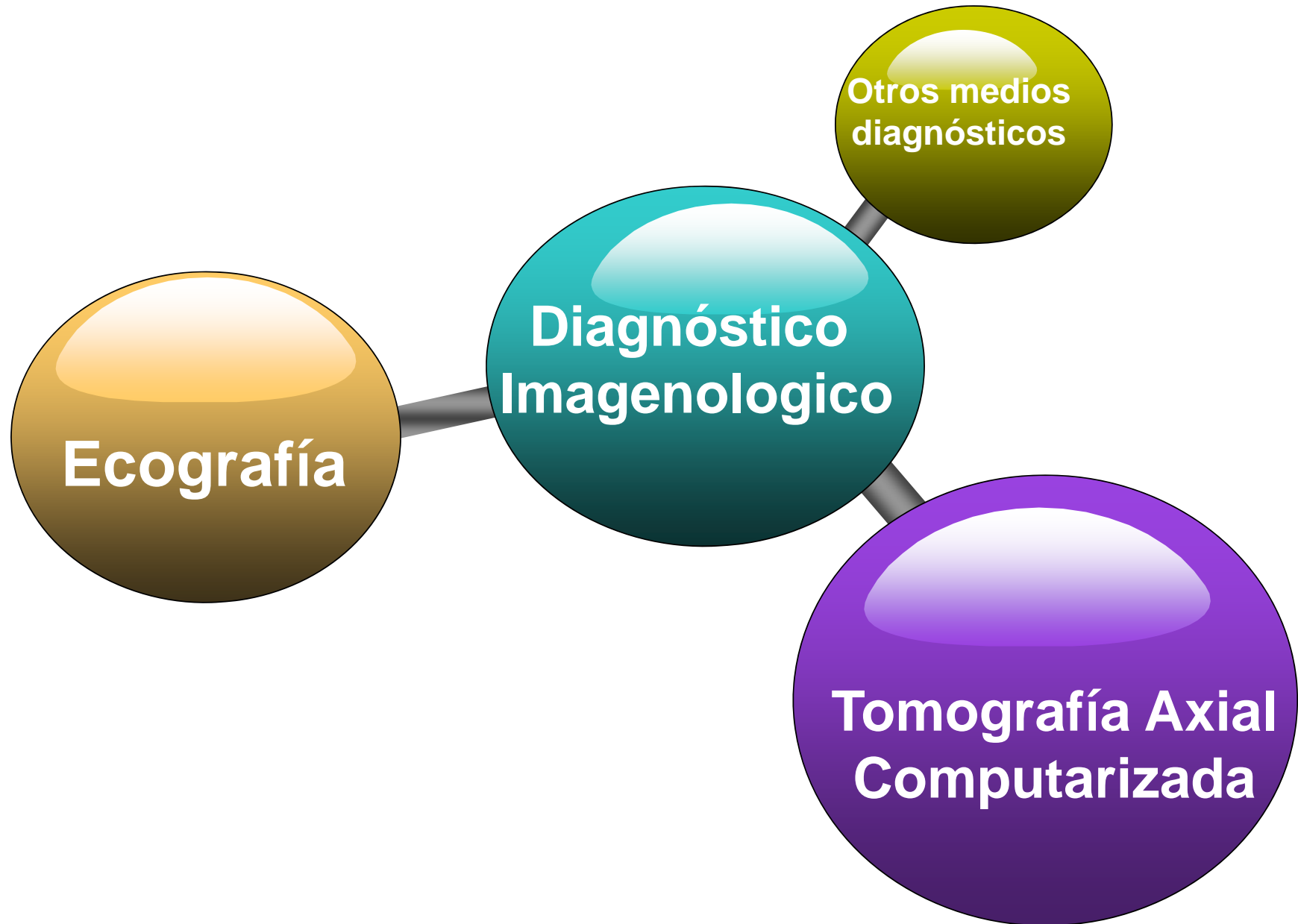
A blue rectangular sticky note with rounded corners and a silver pushpin at the top center.

3000 años a.C.
Primer hallazgo informado de cáncer en el papiro de Edwin Smith encontrado en Luxor, Egipto en 1862

A green rectangular sticky note with rounded corners and a silver pushpin at the top center.

Año 168 a.C.
Galeno consideraba que los tumores detectados en etapa temprana podían ser extirpados como medio de curación.



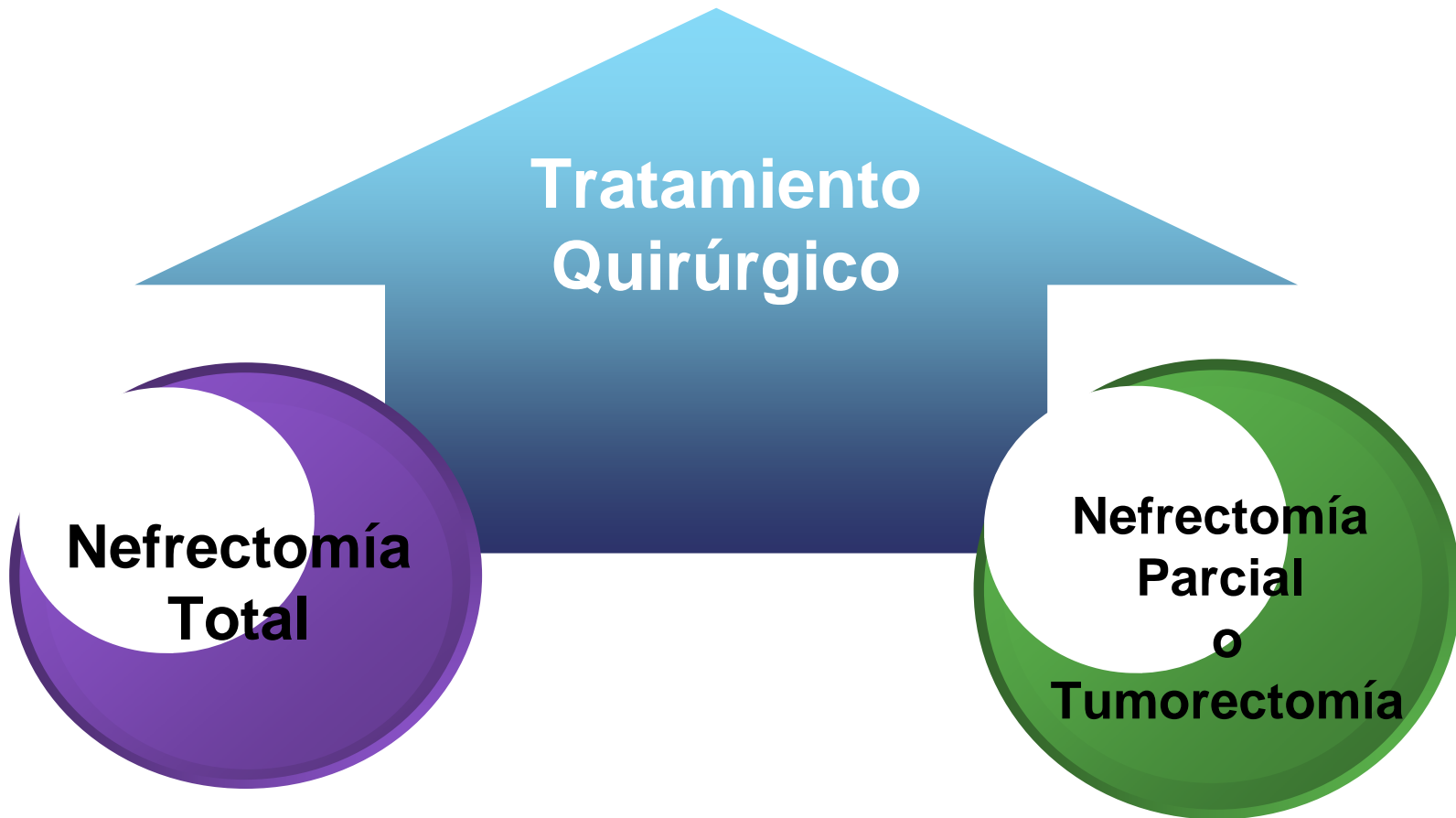


Tratamiento

Tratamiento Quirúrgico

**Nefrectomía
Total**

**Nefrectomía
Parcial
o
Tumorectomía**





Objetivos:

Caracterizar los pacientes con diagnóstico de neoplasia maligna renal según variables epidemiológicas y clínicas de interés.

Describir los hallazgos ecográficos y tomográficos encontrados en enfermos con neoplasias malignas renales.

Diseño metodológico

Tipo
de estudio


Observacional, descriptivo, transversal y prospectivo

Universo

34 pacientes diagnosticados con tumor renal maligno

Variables

Epidemiológicas
Clínicas imagenológicas



Obtención
de la
información

Técnica de
procesamiento
y análisis

Aspectos
éticos

Análisis y discusión de los resultados

Tabla 1. Pacientes con sospecha de tumor renal maligno según grupo de edades y sexo

Grupo de edades (años)	Masculino		Femenino		Total	
	No.	%	No.	%		
30 - 40	1	2,9	0	0	1	2,9
41 - 50	6	17,6	5	14,7	11	32,3
51 - 60	9	26,5	7	20,6	16	47,1
Más de 60	4	11,8	2	5,9	6	17,7
Total	20	58,8	14	41,2	34	100

Gráfico 1 Pacientes con sospecha de tumor renal.maligno según grupo de edades y sexo

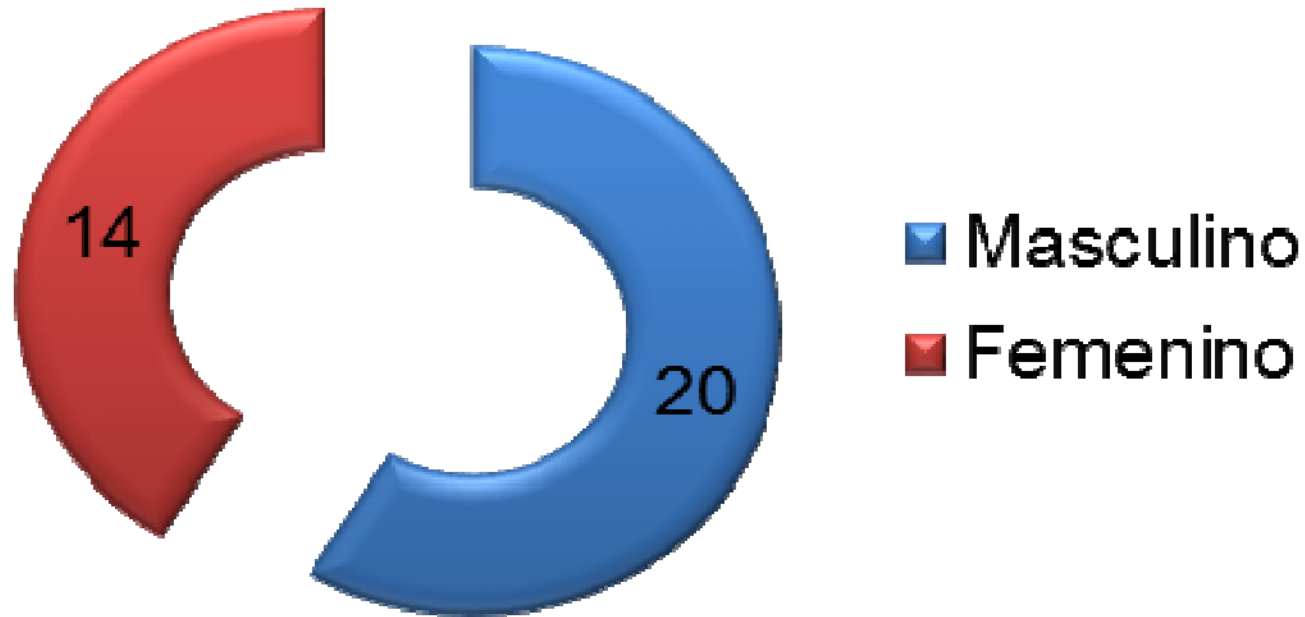


Tabla 2. Pacientes con sospecha de tumor renal maligno según color de la piel y procedencia.

Color de la piel	Urbana		Rural		Total	
	No.	%	No.	%		
Mestiza	14	41,2	6	17,6	20	58,8
Blanca	5	14,7	3	8,8	8	23,5
Negra	4	11,8	2	5,9	6	17,7
Total	23	67,7	11	32,3	34	100

Gráfico 2. Pacientes con sospecha de tumor renal maligno según color de la piel y procedencia.

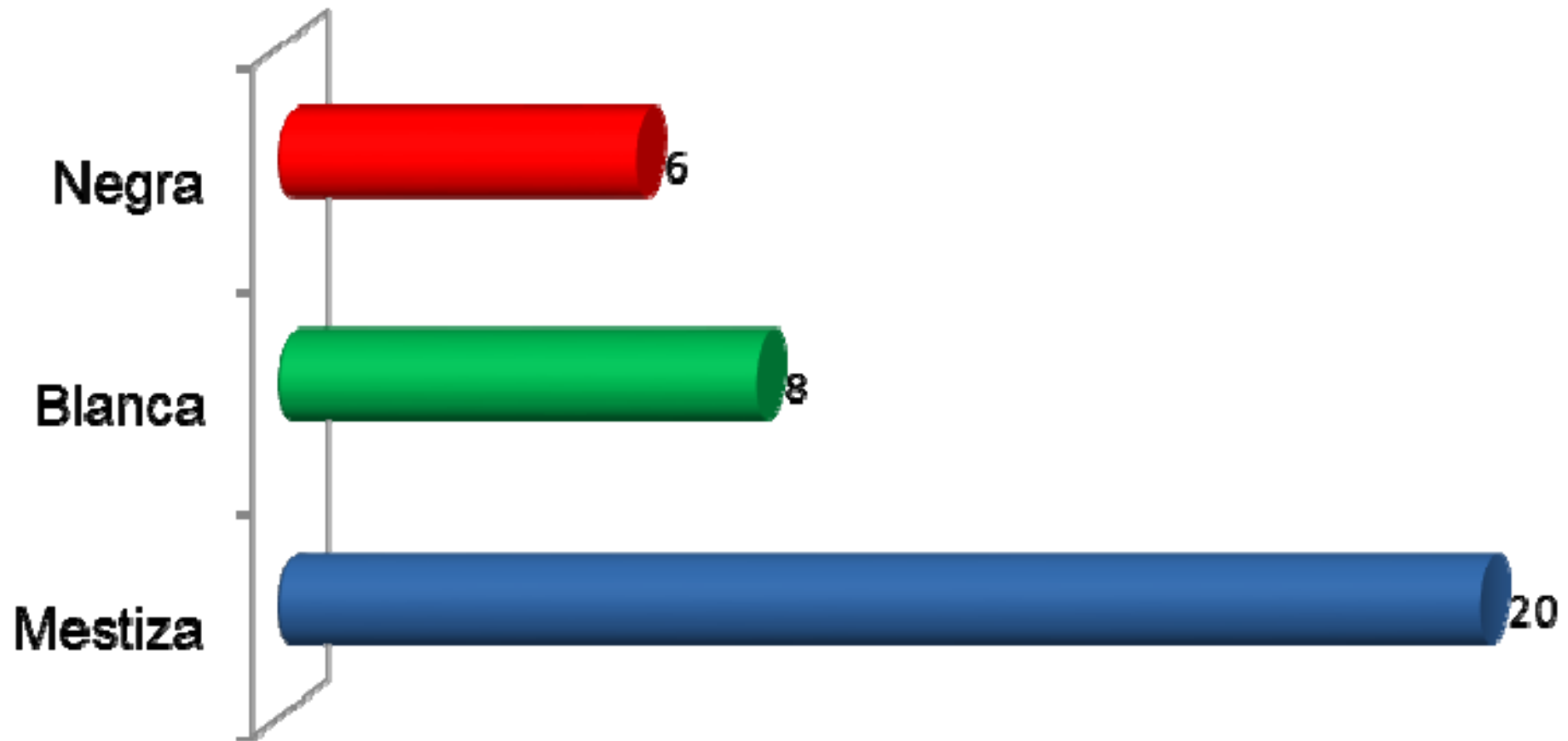


Tabla 3. Pacientes con sospecha de tumor renal maligno según antecedentes patológicos personales.

Antecedentes patológicos personales	No.	%
Apparentemente sano	10	29,4
Hipertensión arterial	15	42,9
Diabetes mellitus	8	25,5
Cardiopatía isquémica	3	8,8
Cáncer de piel	1	2,9

Tabla 4. Pacientes con sospecha de tumor renal maligno según hábitos tóxicos.

Hábitos tóxicos	No.	%
Tabaquismo	12	35,3
Alcoholismo	2	5,9
Café	13	38,2
No hábitos tóxicos	11	32,3

Tabla 5. Pacientes con sospecha de tumor renal maligno según síntomas y signos.

Síntomas y signos	No.	%
Dolor lumbar	24	70,6
Manifestaciones clínicas generales	10	29,4
Fiebre	8	25,5
Hematuria	5	14,7
Tumor palpable	5	14,7
Aumento de la tensión arterial	2	5,9
Asintomáticos	10	29,4

Tabla 6. Pacientes con sospecha de tumor renal maligno según riñón afectado y localización del tumor.

Localización	Riñón afecto				Total	
	Derecho		Izquierdo			
	No.	%	No.	%	No.	%
Polo superior	5	14,7	4	11,8	9	26,5
Porción media	7	20,6	6	17,6	13	38,2
Polo inferior	5	14,7	3	8,8	8	25,5
Todo riñón	2	5,9	2	5,9	4	11,8
Total	19	55,9	15	44,1	34	100

Gráfico 3. Pacientes con sospecha de tumor renal maligno según riñón afectado y localización del tumor.

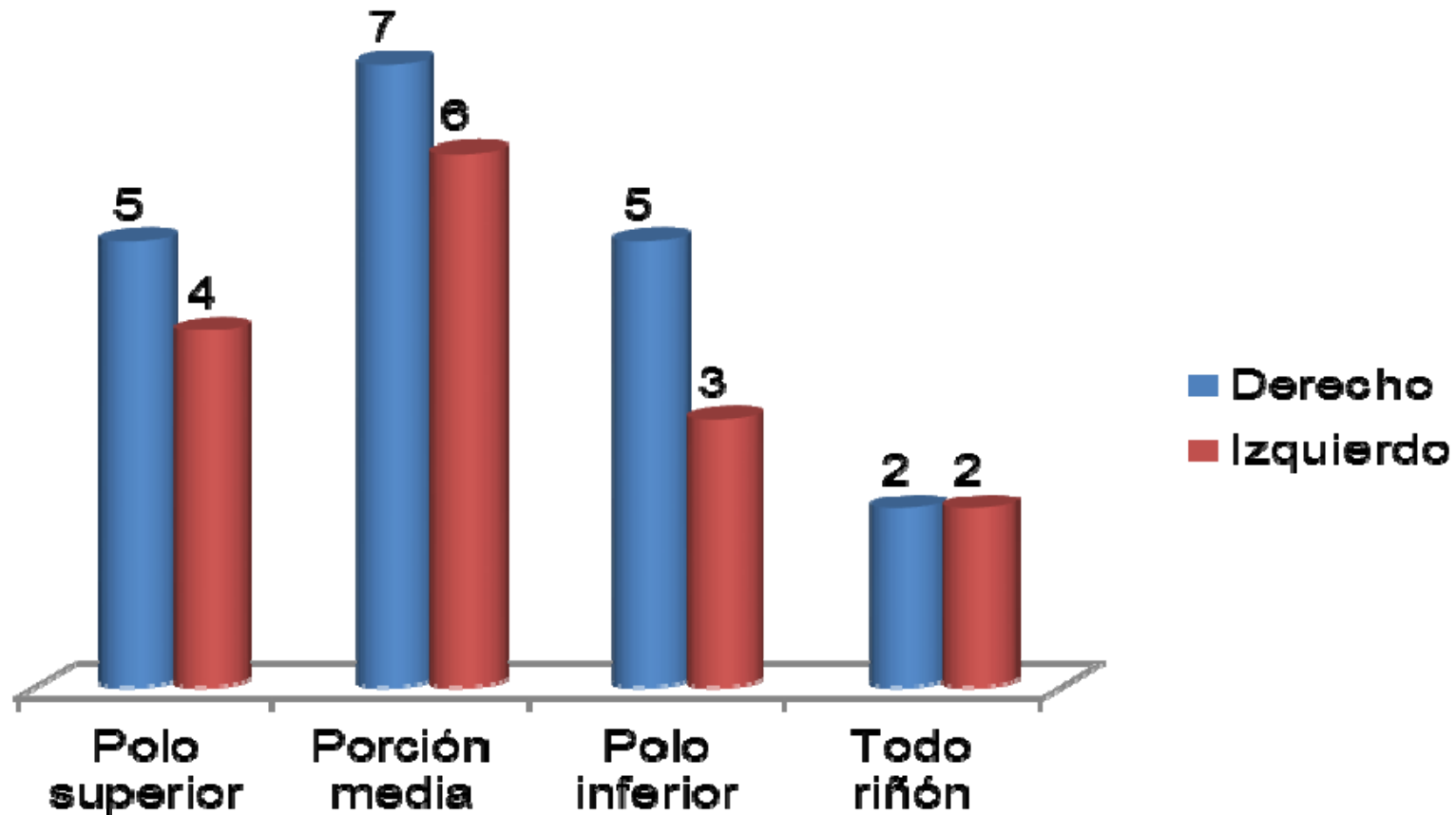


Tabla 7. Pacientes con sospecha de tumor renal maligno según hallazgos ultrasonográficos

Hallazgos ultrasonográficos	No.	%
Ecogenicidad		
Ecogénico	13	38,2
Complejo	11	32,4
Hipoecogénico	4	11,8
Isoecogénico	3	8,8
Hiperecogénico	2	5,9
Ecolúcido	2	5,9
Vascularización		
Vascularizados	27	79,4
No vascularizados	7	20,6

Tabla 8. Distribución según hallazgos tomográficos de pacientes con sospecha de tumor maligno renal.

Hallazgos	No.	%
Densidad		
Hiperdenso	28	82,4
Mixto	4	11,8
Hipodenso	2	5,9
Densidad homogénea	13	38,2
Densidad variable	21	61,8
Captación de contraste		
Captantes	24	70,6
No captantes	10	29,4

Tabla 9. Pacientes con sospecha de tumor renal maligno según hallazgos comunes ultrasonográficos y tomográficos.

Hallazgos comunes ultrasonográficos y tomográficos	No.	%
Contornos		
Bien definidos	23	67,6
Mal definidos	11	32,4
Tamaño		
Menor de 5 cm	14	41,2
6 cm y más	20	58,8
Otras características		
Calcificaciones	14	41,2
Necrosis	16	47,1
Adenopatías profundas	4	11,8
Dilatación del sistema excretor	7	20,6
Infiltración del sistema excretor	10	29,4
Infiltración de vena cava	2	5,9
Infiltración a vejiga	2	5,9
Infiltración al psoas y espacios perirrenales	4	11,8

Tabla 10. Distribución según diagnóstico anatomopatológico definitivo.

Diagnóstico anatomopatológico	No.	%
Carcinoma de células claras patrón mixto	14	41,2
Carcinoma de células claras patrón tubular	9	26,5
Carcinoma de células claras patrón sólido	5	14,7
Carcinoma de células claras patrón papilar	4	11,8
Carcinoma de células claras patrón granular	2	5,9
Total	34	100

Conclusiones:

Los tumores malignos renales aparecieron en pacientes en un rango de edad entre 51 y 60 años preferentemente, mestizos y con escasa sintomatología, siendo en muchos casos hallazgos incidentales.

La ultrasonografía y la tomografía ofrecen una descripción detallada de las neoplasias malignas renales, así como su extensión siendo de gran importancia para el estadiamiento de estas patologías y su conducta terapéutica.

Galería de imágenes



Imagen1. Sección longitudinal: Coexistencia de quiste seroso en tercio medio y masa sólida de 2 cm en polo inferior.



Imagen 2. Sección longitudinal: Masa sólida de 3 cm que penetra en el seno.



Imagen 3. Sección longitudinal: Masa intraparenquimatosa heterogénea con áreas líquidas y sólidas en su interior.



Imagen 4. A y B. Sección longitudinal: Masa sólida en tercio medio con vascularización periférica y ausencia de vascularización central (A). Masa sólida con vascularización central (B).



Imagen 5. TAC renal mostrando una gran tumoración de densidad homogénea no capsulada y con realce escaso y difuso en su tercio anterior

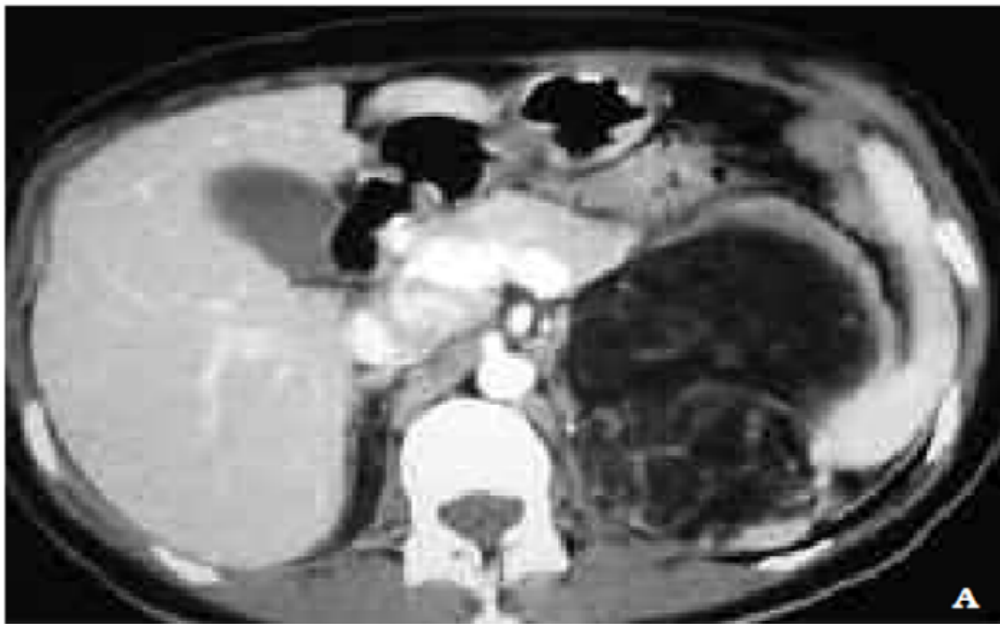


Imagen 6. A y B. Mostrando en imagen TAC la existencia de dos masas subcapsulares con arquitectura predominante grasa (densidades negativas entre - 190 y -110 U.H.). En el seno de ambas masas se delinean estructuras vasculares y elementos de densidad intermedia.

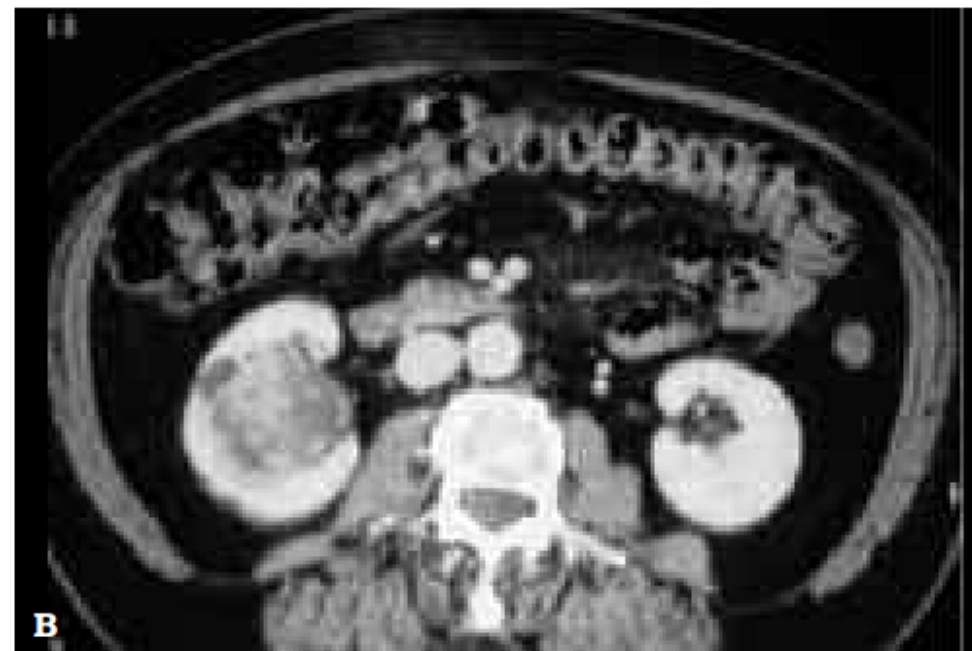
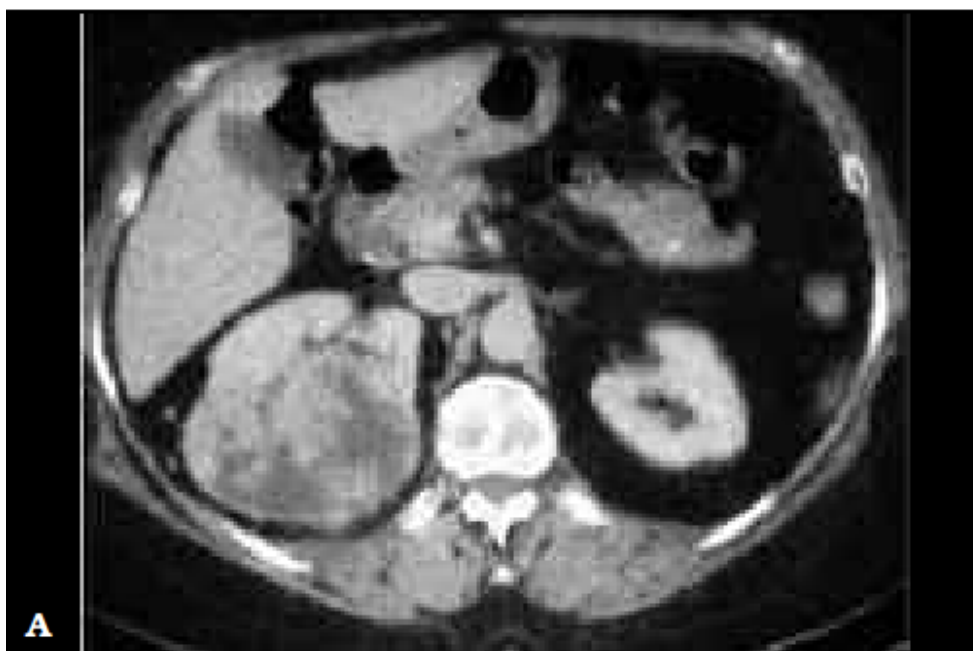


Imagen 7. A y B. Imágenes TAC con medio de contraste yodado i.v. mostrando sendas masas en riñón derecho. (A) En tercio superior y medio posterior del RD y (B) de ocupación hiliar en RD. Ambas masas exhiben realces heterogéneos, inferior al del parénquima renal y muestran áreas hipodensas de necrosis.

“En el campo de la observación, la oportunidad sólo favorece a la mente preparada”.

Louis Pasteur

